

Рис. 2. Схема ЭОП с электростатической фокусировкой: 1—входная волоконно-оптическая пластина (ВОП); 2—фотокатод; 3—выходная ВОП; 4—экран; 5—анод.

тактом соединяется с входной ВОП второго модуля. Двухмодульные ЭОП обеспечивают усиление яркости до  $(4-6) \cdot 10^3$  кд/м<sup>2</sup>·лк при разрешении в центре экрана до 50 пар линий/мм и до 25—30 пар линий/мм у краёв экрана. При таких усилениях возможна регистрация вылета из фотокатода отд. электронов, поэтому дальнейшее усиление яркости нецелесообразно, т. к. не расширяет объёма преобразуемой информации.

Наряду с усовершенствованием ЭОП с электростатич. фокусировкой совершенствовались плоские приборы. Особенно высокие параметры получены у плоских ЭОП (рис. 3), в к-рых перенос изображения с катода на экран осуществляется канальным вторичным электронным умножителем — микроканальной пластиной (МКП). Микроканальные пластины, изготовливаемые из стекла с высоким коэф. вторичной эмиссии, усиливают проходящий сквозь каналы электронный поток в  $\sim 10^3$  раз. За счёт усиления в МКП общий коэф. преобразования ЭОП достигает  $(20-25) \cdot 10^3$  при разрешении до 40 пар линий/мм.

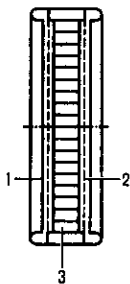


Рис. 3. Схема ЭОП с микроканальной пластиной: 1—фотокатод; 2—экран; 3—микроканальная пластина.

ЭОП с магн. фокусировкой не получили широкого распространения из-за громоздкости и большого веса магн. фокусирующих систем.

Рентг. ЭОП (РЭОП) существенно отличаются от оптических. В них происходит трёхкратное преобразование изображения: оптич. изображение, получаемое на первичном люминесцентном экране за счёт рентг. лучей, прошедших сквозь исследуемый объект, возбуждает фотоэлектронную эмиссию фотокатода; электронное изображение электрич. полем переносится на выходной люминесцентный экран, возбуждая его свечение. Первичный люминесцентный экран формируется на тонкой прозрачной плёнке, на обратной стороне к-рой создаётся фотокатод, что обеспечивает перенос изображения с первичного экрана на фотокатод с мин. искажениями. Электронное изображение с фотокатода переносится на экран с десятикратным уменьшением. Общее усиление в РЭОП достигает неск. тысяч кд/м<sup>2</sup>·лк.

В нек-рых типах ЭОП изображение регистрируется матрицей из электроночувствит. элементов (в количестве 10—100), используемой вместо люминесцентного экрана.

ЭОП применяются в ИК-технике, спектроскопии, медицине, ядерной физике, телевидении, для преобразования УЗ-изображения в видимое (см. *Визуализация звуковых полей*).

Лит.: Козелкин В. В., Усольцев И. Ф., Основы инфракрасной техники, 3 изд., М., 1985; Зайдель И. Н., Куренков Г. И., Электронно-оптические преобразователи, М., 1970.

А. А. Жигарев.

### ЭЛЕКТРОННО-ФОНОННОЕ ВЗАИМОДЕЙСТВИЕ — см. *Электрон-фоновое взаимодействие*.

**ЭЛЕКТРОННО-ФОТОННЫЕ ЛИВНИ** (электромагнитные каскады, электронно-фотонные лавины) — группы генетически связанных частиц, обусловленные многократными последовательными актами взаимодействия электронов и фотонов высоких энергий с веществом. Электрон достаточно высокой энергии  $\epsilon_0$ , попадая на слой вещества,

испускает фотон (см. *Тормозное излучение*), к-рый в дальнейшем способен породить электрон-позитронную пару (см. *Рождение пар*) или испытать комптоновское рассеяние (см. *Комптона эффект*, *Гамма-излучение*). Компоненты пары вновь испускают тормозные фотоны и т. д. Процесс «размножения» частиц лавинообразно нарастает до тех пор, пока ср. энергия родившихся частиц не упадёт до критич. энергии  $\epsilon$  (табл.), ниже к-рой ионизационные потери энергии преобладают над потерями на тормозное излуче-

Вещество	Z	$t_{0, \epsilon}^2$ Г/см <sup>2</sup>	$\epsilon$ , МэВ
H <sub>2</sub>	1	61,28	251
C	6	42,70	74,5
Al	13	24,01	38,8
Cu	29	12,86	18,04
Pb	82	6,37	7,4
U	92	6,00	6,5
Воздух	(20° С, 1 атм)	36,66	67
Вода		36,08	71,8
Ядерная эмульсия		11,4	16,4

ние (радиационными потерями). После достижения максимума числа частиц, к-рое пропорционально  $\epsilon_0/\epsilon$ , лавина начинает затухать из-за поглощения частиц за счёт ионизаци. потерь.

Аналогичные лавины порождаются фотонами с энергией  $\epsilon_0 > 2m_e c^2$ , где  $m_e$  — масса электрона, а также более тяжёлыми заряж. частицами, напр. мюонами, создающими тормозные фотоны или порождающими электрон-позитронные пары. Однако для тяжёлых (массивных) частиц сечения соответствующих процессов малы. Напр., сечение тормозного излучения обратно пропорционально квадрату массы  $t$  частицы:  $(m_e/m)^2$ .

Помимо продольного развития лавина распадается в поперечном направлении из-за многократного кулоновского рассеяния электронов, причём поперечный размер Э.-ф. л. много меньше продольного.

Как продольное, так и поперечное развитие Э.-ф. л. резко зависит от ат. номера Z вещества. Однако если ввести спец. масштаб, то свойства Э.-ф. л. в разл. веществах становятся близкими. Такими характеристичными переменными являются радиационная, или лавинная, единица длины  $t_0$  (табл.) и т. н. мольеровский радиус  $r_0 = (\epsilon_s/\epsilon) t_0$  ( $\epsilon_s = 21$  МэВ), определяющий среднеквадратичный радиус ливня  $\sqrt{\langle r^2 \rangle} \sim r_0$  и среднеквадратичный угол рассеяния  $\sqrt{\langle \theta^2 \rangle} \sim 0,7 (\epsilon_s/\epsilon) \sqrt{t}$  для частиц с энергией  $\epsilon$  или  $0,7 (\epsilon_s/\epsilon) \sqrt{t}$  для полного числа частиц вблизи максимума ливня и на больших глубинах  $t$ .

**Каскадная теория.** Теоретич. описание ливня состоит в нахождении числа электронов и фотонов с энергией  $\epsilon$  на глубине  $t$ , т. е. ф-ций  $\mathcal{P}(\epsilon_0, \epsilon, t, \theta)$  и  $\Gamma(\epsilon_0, \epsilon, t, \theta)$ . Для практич. целей часто достаточно знать зависимость ср. числа частиц от глубины, независимо от их угл. распределения, т. н. каскадную кривую. Эта кривая вычисляется путём решения кинетич. ур-ний

$$\begin{aligned} \frac{\partial \mathcal{P}}{\partial t} = & 2 \int_{\epsilon}^{\epsilon_0} \Gamma(t, \epsilon', \epsilon_0) W_p(\epsilon', \epsilon) d\epsilon' + \\ & + \int_{\epsilon}^{\epsilon_0} \mathcal{P}(t, \epsilon', \epsilon_0) W_e(\epsilon', \epsilon' - \epsilon) d\epsilon' - \\ & - \int_0^{\epsilon} \mathcal{P}(t, \epsilon, \epsilon_0) W_e(\epsilon, \epsilon') d\epsilon' - \epsilon \frac{\partial \mathcal{P}(t, \epsilon, \epsilon_0)}{\partial \epsilon}, \end{aligned} \quad (1)$$

$$\frac{\partial \Gamma}{\partial t} = \int_{\epsilon}^{\epsilon_0} \mathcal{P}(t, \epsilon', \epsilon_0) W_e(\epsilon', \epsilon) d\epsilon' - \int_0^{\epsilon} \Gamma(t, \epsilon, \epsilon_0) W_p(\epsilon, \epsilon') d\epsilon'. \quad (2)$$

Здесь  $W_e(\epsilon', \epsilon)$  и  $W_p(\epsilon', \epsilon)$  — соответственно вероятности процесса тормозного излучения и рождения пар фотонами, а член  $\epsilon \partial \mathcal{P} / \partial \epsilon$  описывает ионизаци. потери.